

## บทความวิจัย

### การดูดซับฟอสเฟตบนเซอไลต์ โดยระบบเนียนวิชีการคำนวณทางเคมีคอมพิวเตอร์

### Phosphate Adsorption on Zeolites by Computational Chemistry

ยะกี๊ ขาเร็มดาเบ๊<sup>1</sup> และ อุษา อันทอง<sup>2\*</sup>

Yakoh kharemdabeh<sup>1</sup> and Usa onthong<sup>2\*</sup>

#### บทคัดย่อ

การดูดซับฟอสเฟตบน H-zeolite โดยระบบเนียนวิชีการคำนวณทางเคมีคอมพิวเตอร์ ที่ระดับการคำนวณ HF/6-31G\* และ B3LYP/6-31G\* ทำการศึกษาอันตรกิริยาระหว่างฟอสเฟตกับโครงสร้าง H-zeolite พบว่าบริเวณอะตอมออกซิเจนซึ่งเป็นบริเวณที่มีความหนาแน่นของอิเล็กตรอนสูงของฟอสเฟต เป็นบริเวณที่เกิดอันตรกิริยา กับโครงสร้าง H-zeolite ซึ่งจากการคำนวณสนับสนุนว่าในระบบมีการดูดซับฟอสเฟตบนโครงสร้าง H-zeolite ได้

คำสำคัญ : เซอไลต์ธรรมชาติ เคมีคอมพิวเตอร์ สารประกอบฟอสเฟต การดูดซับ

#### Abstracts

The adsorption of phosphate on H-zeolite have been investigated using density functional theory (DFT). The adsorption energy of these various forms on H-zeolite of which the structures are treated as the rigid molecules were determined at the B3LYP/6-31G\* approached. The result of adsorption processes indicates that the electron density site around Oxygen atom of phosphate molecule is preferentially bonded to the H-zeolite. Our finding of phosphate ions are in agreement with some reported data.

Keywords : Natural Zeolite, Computational Chemistry, Phosphate, Adsorption

<sup>1</sup> นิสิตบัณฑิตศึกษา ภาควิชาเคมี คณะวิทยาศาสตร์ มหาวิทยาลัยทักษิณ สังขละ 90000

<sup>2</sup> ผู้ช่วยศาสตราจารย์ ดร. ภาควิชาเคมี คณะวิทยาศาสตร์ มหาวิทยาลัยทักษิณ สังขละ 90000

\* หน่วยวิจัยเคมีคอมพิวเตอร์ มหาวิทยาลัยทักษิณ วิทยาเขตพัทลุง

โทรศัพท์/โทรสาร: 0-7444-3966 e-mail: usa@tsu.ac.th

## คำนำ

ปัจจุบันประเทศไทยกำลังพัฒนาได้มีการเปลี่ยนแปลงในด้านต่างๆ อย่างรวดเร็วและต่อเนื่อง ทั้งทางด้านเศรษฐกิจ ทั้งภาคอุตสาหกรรมและภาคเกษตรกรรม การเปลี่ยนแปลงที่เกิดขึ้นอย่างรวดเร็วนี้ ส่งผลกระทบต่อความเป็นอยู่ของประชาชน ซึ่งทำให้วิธีการดำเนินชีวิตของมนุษย์เปลี่ยนแปลงไปด้วย โดยอาศัยการพัฒนาของเทคโนโลยีซึ่งเป็นสิ่งอำนวยความสะดวกต่างๆ การเปลี่ยนแปลงวิถีชีวิตของมนุษย์ที่มุ่งเน้นแต่ความความก้าวหน้าทางด้านเทคโนโลยี เพื่อให้ทันต่อความต้องการที่เพิ่มขึ้นอย่างรวดเร็ว ซึ่งการขยายตัวที่รวดเร็วเกินไป โดยปราศจากการควบคุมจะนำไปสู่ความสูญเสีย นั้นคือภาวะสิ่งแวดล้อมเป็นพิษ ส่งผลให้เกิดปัญหาทางด้านมลภาวะต่างๆ ทั้งด้านดิน แหล่งน้ำธรรมชาติ และอากาศ [1] ซึ่งผลกระทบส่วนใหญ่ที่เกิดขึ้นนี้เกิดจากการปล่อยของเสียจากโรงงานอุตสาหกรรม การทิ้งน้ำเสียจากกิจกรรมต่างๆ ในครัวเรือนลงในแหล่งน้ำธรรมชาติ และสารพิษตอกซึ่งจากการเกย์หรือ เป็นต้น ปัญหานี้ที่น่าสนใจก็คือ ปัญหางของการปนเปื้อนของสารประกอบฟอสเฟตที่มีปริมาณความเข้มข้นสูงกว่ามาตรฐานที่กำหนดไว้ คืออยู่ในช่วง 0.01-0.1 พีพีเอ็มฟอสฟอรัส (มิลลิกรัมฟอสฟอรัสต่อลิตร) [2] ถ้ามีปริมาณมากจะส่งผลต่อระบบสิ่งแวดล้อม ทำให้วัชพืชน้ำเติบโตเร็ว และช่วยในการเจริญเติบโตของสาหร่ายสีเขียวแกมน้ำเงินซึ่งหากบริโภคน้ำที่มีสาหร่ายเหล่านี้จะมีผลเสียต่อสุขภาพ และส่งผลกระทบต่อสุขภาพของสัตว์น้ำและสิ่งมีชีวิตต่างๆ ในแหล่งน้ำธรรมชาติ โดยการไม่ได้ผ่านกระบวนการบำบัดมาก่อน

กระบวนการกำจัดฟอสเฟตในน้ำเสียด้วยวิธีทางเคมี นิยมใช้ในการกำจัดโดยใช้สารเคมีประเภท Lime, Alum และ Ferric chloride ซึ่งมีประสิทธิภาพสูงในการกำจัดฟอสเฟต [3] ส่วนวิธีทางชีวภาพสามารถกำจัดฟอสเฟตได้ 30 % อย่างไรก็ตามน้ำเสียที่ผ่านกระบวนการบำบัดแล้วยังคงมีปริมาณฟอสเฟตเหลืออยู่ในปริมาณที่สูง เมื่อปล่อยลงสู่แหล่งน้ำธรรมชาติจะก่อให้เกิดปัญหากับระบบนิเวศ และก่อให้เกิดผลกระทบต่อสิ่งแวดล้อมตามมา [4, 5] การปรับปรุงระบบบำบัดน้ำเสียที่มีอยู่เดิมต้องใช้งบประมาณมาก เพื่อเป็นการลดงบประมาณดังกล่าว จึงมีแนวคิดในการบำบัดน้ำเสียที่มีสารประกอบฟอสเฟตปนเปื้อนโดยใช้ซีโอไอล์ด์ธรรมชาติเป็นตัวดูดซับ ซึ่งเป็นทางเลือกอีกทางหนึ่งที่อาจ詹นานาใช้แก้ปัญหาน้ำส่วนของน้ำเสียได้

ซีโอไอล์ด์คือสารประกอบอะกุมโนซิลิกेट (crystalline aluminosilicates) เป็นโครงสร้างที่มีรูพรุนและช่องว่าง หรือโพรงที่ค่อเรื่องกันอย่างเป็นระเบียบในสามมิติ ขนาดตั้งแต่  $2^{-10}$  อังสตروم (1 อังสตرومเท่ากับ  $1 \times 10^{-10}$  เมตร) จึงมีคุณสมบัติในการดูดซับ ตลอดจนเป็นตัวเร่งปฏิกริยาและแยกปลีนไอออน [6]

การนำอาศาสต์ทางเคมีคอมพิวเตอร์มาใช้ศึกษาเพื่อทำนาย ตรวจสอบประสิทธิภาพ และความเป็นไปได้ของ การใช้ซีโอไอล์ด์บำบัดน้ำเสียที่เกิดจากสารประกอบฟอสเฟต นับว่าเป็นศาสตร์ที่มีบทบาทกับการวิจัยในยุคปัจจุบันมาก [7] การทำวิจัยในครั้งนี้จะศึกษาการดูดซับของสารประกอบฟอสเฟตบนซีโอไอล์ด์ด้วยระเบียบวิธีการ คำนวณเคมีคอมพิวเตอร์เพื่อเป็นข้อมูลในการออกแบบการทดลองในห้องปฏิบัติการเคมี ในการบำบัดน้ำทึบที่นี่ สารประกอบฟอสเฟตปนเปื้อนอยู่ต่อไป

## อุปกรณ์และวิธีการ

### อุปกรณ์

- คอมพิวเตอร์ ระบบปฏิบัติการ linux
- โปรแกรมสำเร็จรูปทางเคมี Gaussian (g98)

## วิธีการ

1. การเลือกโปรแกรม ระเบียบวิธีการคำนวณและ basis set ที่เหมาะสม

2. การสร้าง input file

ประกอบด้วย 7 input file คือ

- 1) H-Z                  2)  $\text{PO}_4^{3-}$                   3)  $\text{HPO}_4^{2-}$                   4)  $\text{H}_2\text{PO}_4^-$   
5)  $[\text{H-Z}]/[\text{PO}_4^{3-}]$                   6)  $[\text{H-Z}]/[\text{PO}_4^{3-}]$                   7)  $[\text{H-Z}]/[\text{HPO}_4^{2-}]$

3. การคำนวณโครงสร้างและพลังงาน เมื่อป้อน Input file เข้าสู่โปรแกรม Gausian (g98) และ โปรแกรมจะทำการคำนวณและให้ผลลัพธ์เป็น out put ซึ่งมีรายละเอียดเป็นโครงสร้างที่เกิดขึ้นของระบบ และพลังงาน [8]

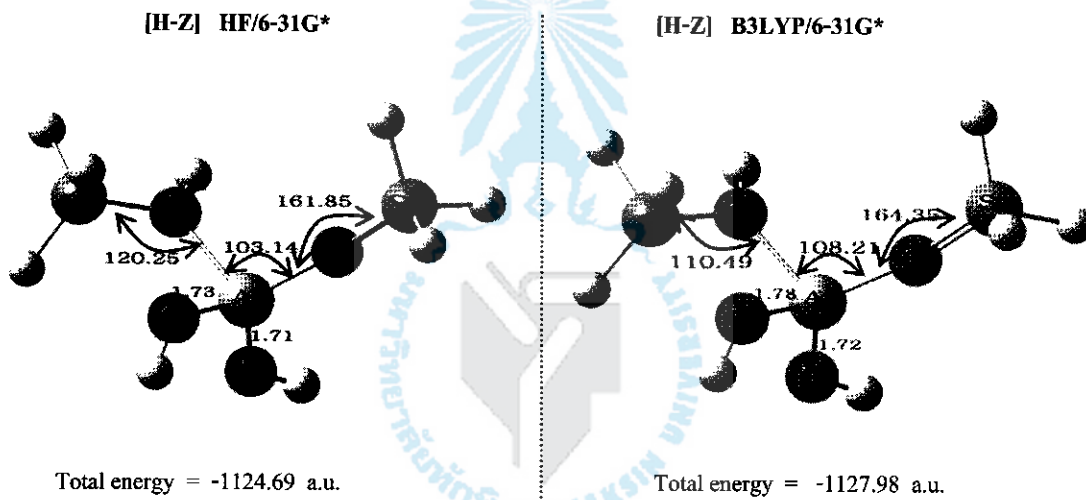
4. การวิเคราะห์ข้อมูล และคุณสมบัติค่างๆ

## ผลการวิจัยและอภิปรายผล

การศึกษาการคุณชั้นสารประกอบฟอสเฟตบันโครงสร้างของชีโอໄไลต์ชนิด H-zeolite โดยเปรียบเทียบผลการศึกษาจาก 2 ระเบียบวิธี คือ HF และ DFT/B3LYP ซึ่งเบซิสเซท ที่ใช้ในการศึกษา คือ 6-31G\*

### การคุณชั้นสารประกอบฟอสเฟตบัน H-zeolite

1. โครงสร้างและพลังงานของ H-zeolite [H-Z]

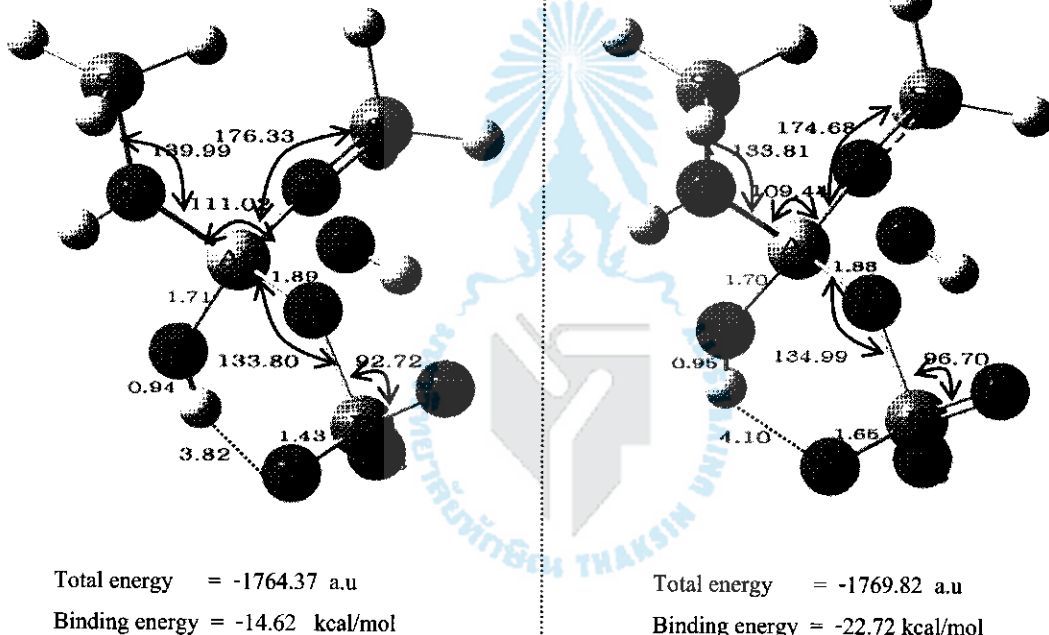


ภาพที่ 1 แสดงโครงสร้างและพลังงานของ H-zeolite จากระเบียบวิธี HF และ B3LYP

จากการสร้างแบบจำลองโครงสร้าง H-zeolite; 3T cluster (T= tetrahedron) 1 ยูนิต สามารถเป็นตัวแทนของชีโอໄไลต์ได้ เนื่องจากโครงสร้างของชีโอໄไลต์ที่มีไม่เกลุ่มน้ำดใหญ่นั้นประกอบด้วยหลายๆ ยูนิตมาต่อกันอย่างเป็นระเบียบ จากการคำนวณโครงสร้าง H-zeolite ด้วยระเบียบวิธี HF และ DFT พลังงานที่ได้ทั้งสองระเบียบวิธี มีพลังงานสูงสุด (Total energy) ที่ใกล้เคียงกัน โดยระเบียบวิธี HF ให้พลังงานค่าพลังงานเท่ากับ -1124.69 a.u. และระเบียบวิธี B3LYP มีค่าพลังงานเท่ากับ -1127.98 a.u. ซึ่งค่าพลังงานที่ได้นี้ แสดงให้เห็นว่าระเบียบวิธี

2. อันตรกิริยาระหว่าง H-zeolite กับ  $\text{PO}_4^{3-}$   
 $[\text{H-Z}]/[\text{PO}_4^{3-}]$  HF/6-31G\*

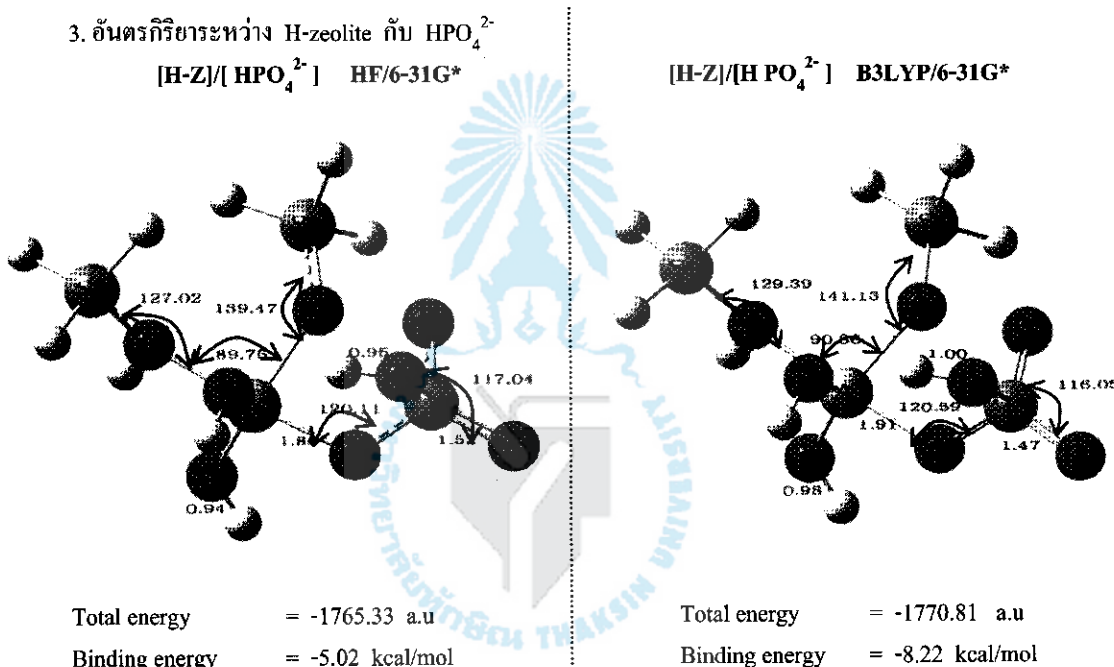
$[\text{H-Z}/\text{PO}_4^{3-}]$  B3LYP/6-31G\*



ภาพที่ 2 แสดงโครงสร้างอันตรกิริยาระหว่าง H-zeolite กับ  $\text{PO}_4^{3-}$  และพลังงานจากการระเบียบวิธี HF และ B3LYP

จากโครงสร้างแสดงอันตรกิริยาระหว่าง H-zeolite กับ  $\text{PO}_4^{3-}$  และพลังงานที่ได้จากการคำนวณทั้งสองระบบที่มีนิวเคลียติก อะตอม HF ระบบที่มีค่าพลังงานเท่ากับ  $-1764.37 \text{ a.u.}$  พลังงานพื้นฐานระหว่าง H-zeolite กับ  $\text{PO}_4^{3-}$  มีค่า  $-14.62 \text{ kcal/mol}$  ในส่วนของระบบที่ B3LYP ระบบที่มีค่าพลังงานเท่ากับ  $-1769.82 \text{ a.u.}$  พลังงานพื้นฐานมีค่าเท่ากับ  $-22.72 \text{ kcal/mol}$

ในระบบที่มีนิวเคลียติก HF และ B3LYP บริเวณที่เกิดอันตรกิริยา คือบริเวณอะตอมออกซิเจนที่ 3 ( $\text{O}_3$ ) ของ H-zeolite หลุดออกโดยอะตอมออกซิเจนที่ 7( $\text{O}_7$ ) ของ  $\text{PO}_4^{3-}$  เข้าทำปฏิกิริยากับอะตอม Al ส่งผลให้ความยาวพันธะอะตอมออกซิเจนที่ 7( $\text{O}_7\text{-Al}$ ) มีค่าความยาวพันธะเท่ากับ  $1.89 \text{ \AA}$  และ  $1.88 \text{ \AA}$  ตามลำดับ และมุ่งระบุว่างอะตอมอะกูนินีอยู่กับอะตอมออกซิเจนที่ 7 และอะตอมฟอสฟेट ( $\text{Al-O}_7\text{-P}$ ) มีค่าเท่ากับ  $133.80^\circ$  และ  $134.99^\circ$  ตามลำดับ เมื่อพิจารณาโครงสร้างจากระบบที่มีนิวเคลียติกการคำนวณแบบ HF และ DFT จะพบว่า H ของ H-zeolite เกิดแรงดึงดูดกับอะตอมออกซิเจนที่ 6 ( $\text{O}_6$ ) ของ  $\text{PO}_4^{3-}$  โดยความยาวพันธะระหว่างอะตอมออกซิเจนที่ 6 กับอะตอมไฮโดรเจน ( $\text{O}_6\text{-H}$ ) มีค่าความยาวพันธะเท่ากับ  $3.82 \text{ \AA}$  และ  $4.10 \text{ \AA}$  ตามลำดับ

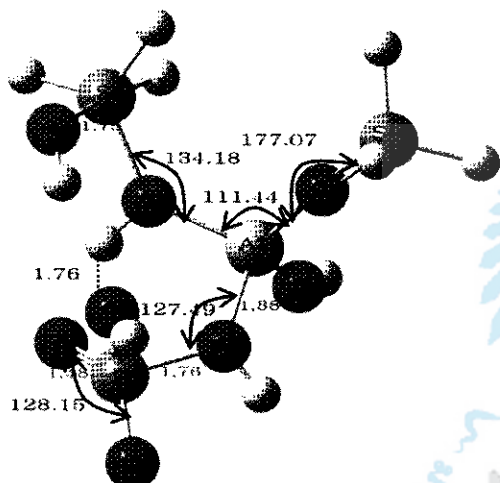


ภาพที่ 3 แสดงโครงสร้างอันตรกิริยาระหว่าง H-zeolite กับ  $\text{HPO}_4^{2-}$  และพลังงานจากระบบที่ HF และ B3LYP

## ପାତ୍ରମଧ୍ୟ

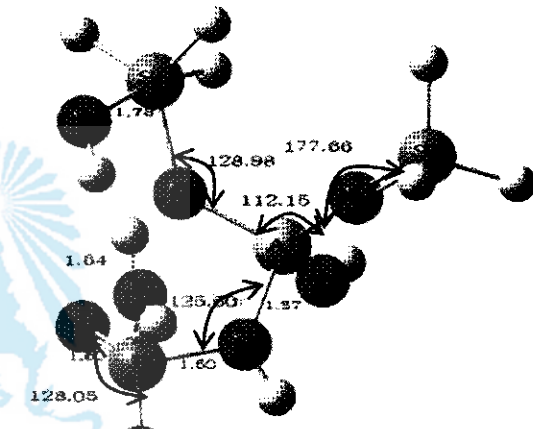
จากโครงสร้างแสดงอันตรกิริยะระหว่าง H-zeolite กับ  $\text{HPO}_4^{2-}$  และพลังงานที่ได้จากการคำนวณห้องระเบียบวิธี จะเห็นว่าระเบียบวิธีแบบ HF ระบบมีค่าพลังงาน -1765.33 a.u. พลังงานพันธะระหว่าง H-zeolite กับ  $\text{HPO}_4^{2-}$  มีค่า -5.02 kcal/mol ในส่วนของระเบียบวิธีแบบ B3LYP ระบบมีค่าพลังงาน -1770.81 a.u. พลังงานพันธะมีค่า -8.22 kcal/mol ในระเบียบวิธีการคำนวณแบบ HF และ B3LYP บริเวณที่เกิดอันตรกิริยา คือ  $\text{O}_5$  ของ  $\text{HPO}_4^{2-}$  เข้าทำปฏิกิริยาับบัดดอน Al ส่งผลให้ความยาวพันธะ  $\text{O}_5\text{-Al}$  มีค่า 1.86 Å และ 1.91 Å ตามลำดับ และเมื่อพิจารณาโครงสร้างจากระเบียบวิธีการคำนวณแบบ HF และ B3LYP จะพบว่ามุมระหว่าง  $\text{Al}-\text{O}_5-\text{P}$  มีค่า 120.11° และ 120.59° ตามลำดับ

#### 4. อันตรกิริยาระหว่าง H-zeolite กับ $H_2PO_4^-$



Total energy = -1766.15 a.u  
 Binding energy = -4.89 kcal/mol

[H-Z]/[H<sub>2</sub>PO<sub>4</sub><sup>-</sup>] B3LYP/6-31G\*



Total energy = -1771.58 a.u  
Binding energy = -11.36 kcal/mol

ภาพที่ 4 แสดงโครงสร้างอันตรกิริยะระหว่าง H-zeolite กับ  $H_3PO_4$  และผลลัพธ์งานจากระเบียบวิธี HF และ B3LYP

จากโครงสร้างแสดงอันตรกิริยาระหว่าง H-zeolite กับ  $H_2PO_4^-$  และผลลัพธ์ที่ได้จากการคำนวณทั้งสองระบบเปียบวิชี จะเห็นว่า ระบบเปียบวิชี HF ระบบที่มีค่าพลังงานเท่ากับ -1766.15 a.u. พลังงานพันธะระหว่าง H-zeolite กับ  $H_2PO_4^-$  มีค่าเท่ากับ -4.89 kcal/mol ในส่วนของระบบเปียบวิชี B3LYP ระบบที่มีค่าพลังงานเท่ากับ -1771.58 a.u. พลังงานพันธะมีค่าเท่ากับ -11.36 kcal/mol

ระเบียบวิธีการคำนวณแบบ HF และ B3LYP บริเวณที่เกิดอันตรกิริยา คือบริเวณอะตอมออกซิเจนที่ 6 ( $O_6$ ) ของ  $H_2PO_4^-$  เข้าทำปฏิกิริยา กับอะตอม Al ส่งผลให้ความยาวพันธะระหว่างอะตอมออกซิเจนที่ 6 กับอะตอมอะลูมิเนียม

(O<sub>6</sub>-Al) มีความกว้างพื้นที่เท่ากับ 1.85 Å และ 1.87 Å ตามลำดับ และเมื่อพิจารณาโครงสร้างจากระเบียบวิธีการคำนวณแบบ HF จะพบว่าอะตอนไฮโดรเจน (H) ของ H-zeolite เกิดแรงดึงดูดกับอะตอนออกซิเจนที่ 6 (O<sub>6</sub>) ของ H<sub>2</sub>PO<sub>4</sub><sup>-</sup>

ตารางที่ 1 แสดงพลังงานพันธะที่ได้จากการคำนวณในระบบ H-zeolite

ระบบ	พลังงานรวม (-Eh(a.u.))	
	HF	B3LYP
PO <sub>4</sub> <sup>3-</sup>	639.7078	641.8123
HPO <sub>4</sub> <sup>2-</sup>	641.4520	642.8174
H <sub>2</sub> PO <sub>4</sub> <sup>-</sup>	641.4718	643.5820
H-Z	1124.6950	1127.9803
[H-Z]/[PO <sub>4</sub> <sup>3-</sup> ]	1764.3795	1769.8288
[H-Z]/[HPO <sub>4</sub> <sup>2-</sup> ]	1765.3380	1770.8108
[H-Z]/[H <sub>2</sub> PO <sub>4</sub> <sup>-</sup> ]	1766.1590	1771.5804

ตารางที่ 2 แสดงพลังงานพันธะที่ได้จากการคำนวณในระบบ H-zeolite

ระบบ	พลังงานพันธะ, -Δ E (kcal/mol)	
	HF	B3LYP
[H-Z]/[PO <sub>4</sub> <sup>3-</sup> ]	14.6209	22.7158
[H-Z]/[HPO <sub>4</sub> <sup>2-</sup> ]	5.0200	8.2203
[H-Z]/[H <sub>2</sub> PO <sub>4</sub> <sup>-</sup> ]	4.8940	11.3579

หมายเหตุ การเปลี่ยนหน่วย 1 a.u. = 1 Hartree = 2,625 KJ/mol = 627.51 kcal/mol

## สรุปผลการวิจัย

จากการศึกษาการคุ้มครองฟอสฟ์ที่ดินโครงสร้าง H-zeolite ด้วยระบบที่มีความต้านทานต่อการหลอมเหลว ให้ผลที่สอดคล้องกัน และค่าพลังงานพันธะที่ได้จากการคุ้มครองฟอสฟ์ให้เห็นได้ว่า เกิดอันตรายร้ายแรงกว่าฟอสฟ์ที่ดินโครงสร้างของซีโอไลท์ (H-zeolite) ที่บริเวณอะตอมออกซิเจนของฟอสฟ์ ซึ่งเป็นบริเวณที่มีความหนาแน่นของอิเล็กตรอนสูง นั่นคือซีโอไลท์สามารถคุ้มครองฟอสฟ์ได้จริง และมีความสามารถคุ้มครองได้แตกต่างกันพิจารณาได้จากค่าพลังงานพันธะที่แตกต่างกันในแต่ละระบบ

## คำขอคุณ

การวิจัยในเรื่องนี้ได้รับการสนับสนุนจากหน่วยงานวิจัยเคมีคอมพิวเตอร์ ภาควิชาเคมี คณะวิทยาศาสตร์ มหาวิทยาลัยทักษิณ และสำนักคอมพิวเตอร์ มหาวิทยาลัยทักษิณ

## เอกสารอ้างอิง

- [1] Chen, J., H. Kong, D. Wu, Z. Hu, Z. Wang and Y. Wang. (2006). Removal of phosphate from aqueous solution by zeolite synthesized. *Journal of Colloid and Interface Science* 300: 491-497.
- [2] มั่นสิน ตัณฑุลาภรณ์ และ มั่นรักน์ ตัณฑุลาภรณ์. (2545) เคมีวิทยาของน้ำและน้ำเสีย, กรุงเทพฯ : โรงพิมพ์แห่งจุฬาลงกรณ์มหาวิทยาลัย.
- [3] Ugurlu, A. and Salman. B. (1998). Phosphorus removal by fly ash. *Environment International* 24:911-918.
- [4] เว็บไซต์กระทรวงทรัพยากรธรรมชาติและสิ่งแวดล้อม, “องค์การจัดการน้ำเสีย (ออนไลน์)” เข้าถึงได้จาก: [www.wma.or.th/Research/Research 4/Reasearch4.html](http://www.wma.or.th/Research/Research 4/Reasearch4.html).
- [5] Grubb, D., M.S. Guimaraes and R. Valencie. (2000). Phosphate immobilization using an acidic type F fly ash. *Journal of Hazardous Materials* 76: 217-236.
- [6] จำรัส ลิ่มศรีภูมิ. (2540). เคมีซีโอไลท์, วารสารวิทยาศาสตร์, 51(6): 420-122; พฤหัสบดี-ธันวาคม 2540.
- [7] Ebner, C., Onthong, U. and Probst. M. (2005). Computational study of hydrated phosphate anions. *Journal of Molecular Liquids*, 118, 15– 25.
- [8] Limtrakul, J. and Onthong. U. (1997). Coadsorption of ammonia and methanol on H-Zeolites and alkaline- exchanged zeolites. *Journal of Molecular Structure* 435:181-192.